

Prédiction de sites d'interaction des protéines par analyse d'arbres phylogénétiques

Stéfan Engelen

Génomique Analytique, INSERM U511

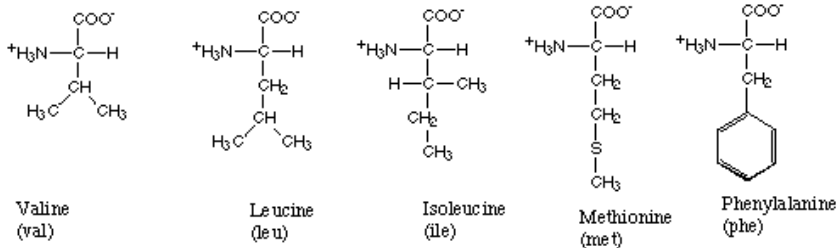
Université Pierre et Marie Curie

Les protéines

2

- Suite linéaire d'acides aminés représentés par des lettres ...
LNSVEFSSFECPSARGFHM...
- 20 acides aminés différents

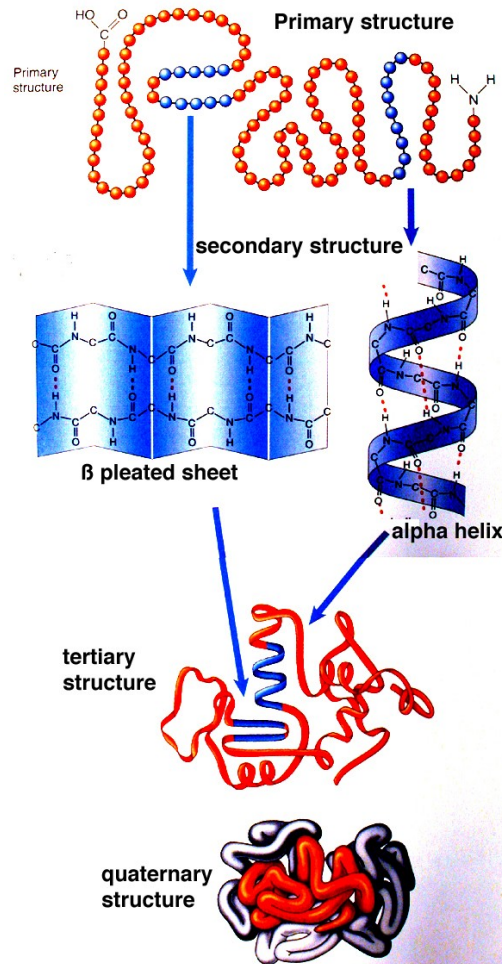
Amino acids with hydrophobic side groups



- Longueur typique aux alentours de 300 AA, intervalle de 100 à 5000 AA
- Responsables de la plupart des fonctions d'une cellule :
 - transport de molécules (transporteur)
 - coupure de molécules, protéines (enzyme) ...

Structure des protéines

3



Chaîne d'acides-aminés (1D)

Chaîne d'éléments structuraux réguliers (2D)

Structure 3D d'une chaîne d'acides-aminés.

Structure 3D de plusieurs chaînes d'acides-aminés.

Structure des protéines

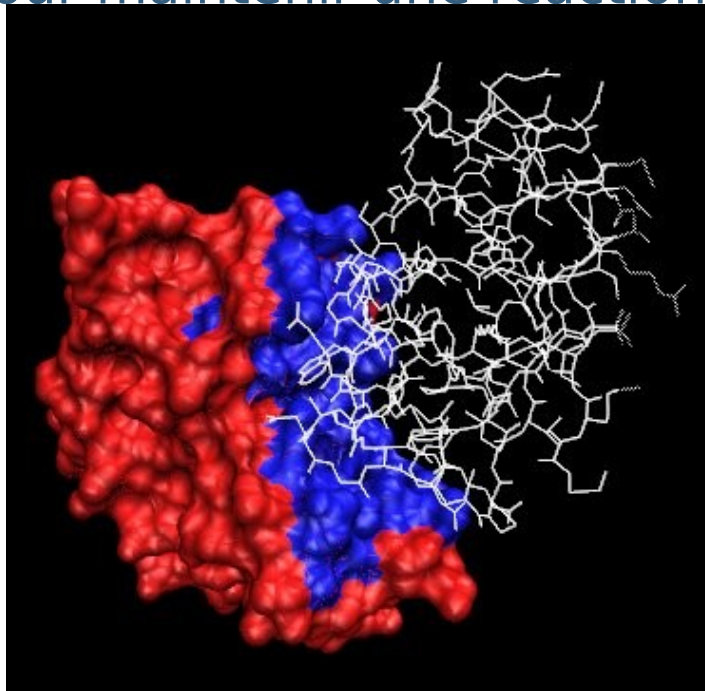
4

- Une protéine se replie dans une structure unique, qui est dépendante seulement de la séquence (C. Anfinsen, 1973).
- Protéines homologues :
 - Séquences d'organismes différents ayant divergées au cours de l'évolution à partir d'un ancêtre commun par substitution, délétion ou insertion d'AA
 - Les structures des protéines homologues sont plus conservées au niveau de la structure 3D que des séquences
 - Fonction quasi identique
- Cœur (AA non accessibles) des protéines homologues assez conservé

Les protéines

5

- Surface moins conservée avec des régions fonctionnelles conservées
 - En structure pour maintenir des interactions (emboîtement) avec d'autres composants moléculaires
 - En séquence pour maintenir une réaction moléculaire particulière



Projet global

6

Intégration des données d'évolution
JET au docking moléculaire (MAXDO)

MAXDO seul :

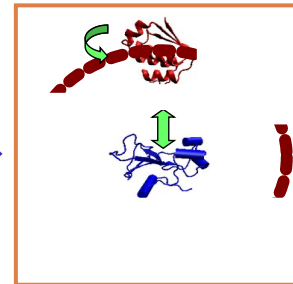
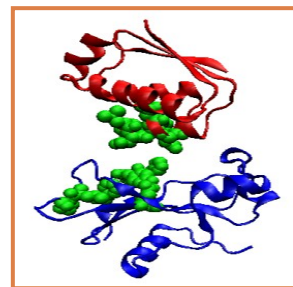
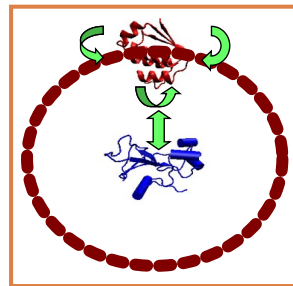
150 protéines

22500 interactions

1 machine :14 siècles

Grille WCG : 7 mois

(1000 à 5000 internautes)



JET + MAXDO

4000 protéines

16 000 000

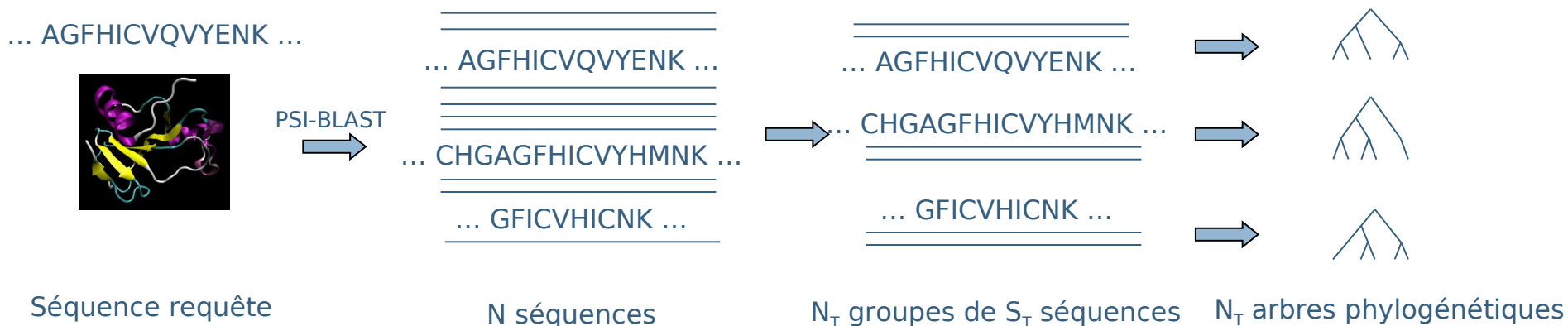
interactions

Réduction de l'espace des calculs
passage à une échelle plus grande possible

JET : Joint Evolutionary trees

7

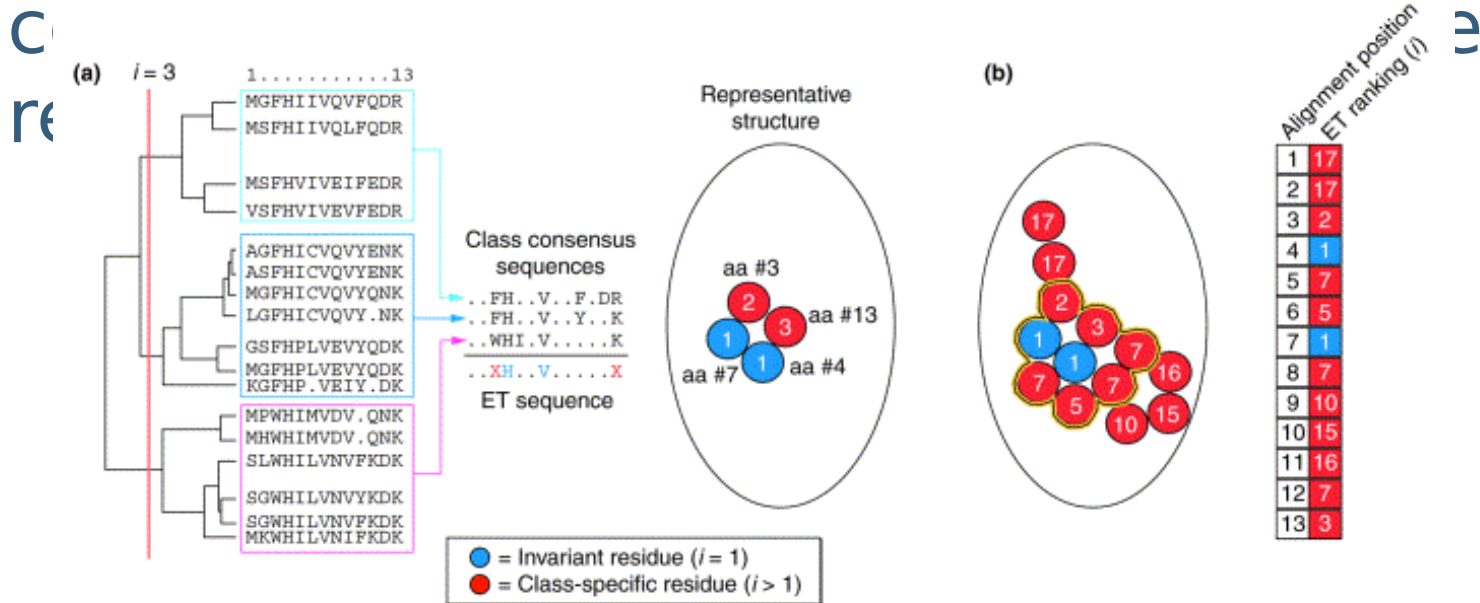
- Séquence requête possédant une structure 3D connue
- Recherche des homologues : PSI-BLAST
- Échantillonnage aléatoire des séquences
 - N_T groupes de S_T séquences
- N_T Alignement multiple : CLUSTALW
- Construction de N_T arbres phylogénétiques : NJ (Neighbor Joining)



JET : Joint Evolutionary trees

8

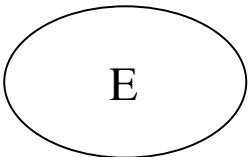
- Évaluation de la conservation des résidus (acides aminés) au sein de chaque arbre : calcul des traces
- Clusterisation des résidus les plus



Échantillonnage aléatoire des séquences

9

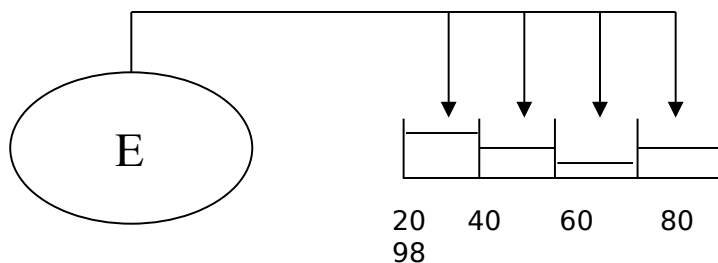
- Motivation : ensemble E de séquences obtenues par PSI-BLAST
 - Répartition non uniforme en terme d'identité
 - Familles de séquences sous ou sur représentées
 - Nombre de séquences grand



Échantillonnage aléatoire des séquences

10

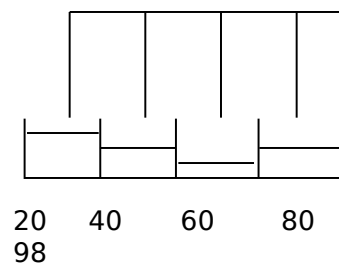
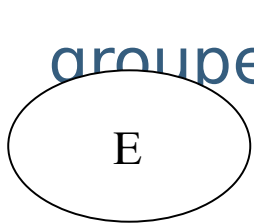
- Motivation : ensemble E de séquences obtenues par PSI-BLAST
 - Répartition non uniforme en terme d'identité
 - Familles de séquences sous ou sur représentées
 - Nombre de séquences grand
- Répartition des séquences de E dans 4 groupes d'identité par rapport à la séquence référence (20-40, 40-60, 60-80, 80-98)



Échantillonnage aléatoire des séquences

11

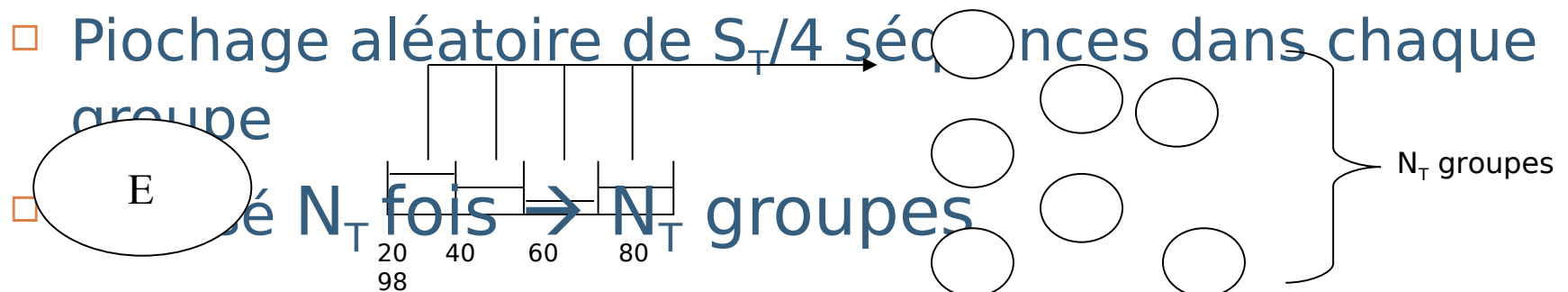
- Motivation : ensemble E de S_N séquences obtenues par PSI-BLAST
 - Répartition non uniforme en terme d'identité
 - Familles de séquences sous ou sur représentées
 - Nombre de séquences grand
- Répartition des séquences de E dans 4 groupes d'identité par rapport à la séquence référence (20-40, 40-60, 60-80, 80-98)
- Piochage aléatoire de $S_T/4$ séquences dans chaque groupe



Échantillonnage aléatoire des séquences

12

- Motivation : ensemble E de S_N séquences obtenues par PSI-BLAST
 - Répartition non uniforme en terme d'identité
 - Familles de séquences sous ou sur représentées
 - Nombre de séquences grand
- Répartition des séquences de E dans 4 groupes d'identité par rapport à la séquence référence (20-40, 40-60, 60-80, 80-98)
- Piochage aléatoire de $S_T/4$ séquences dans chaque



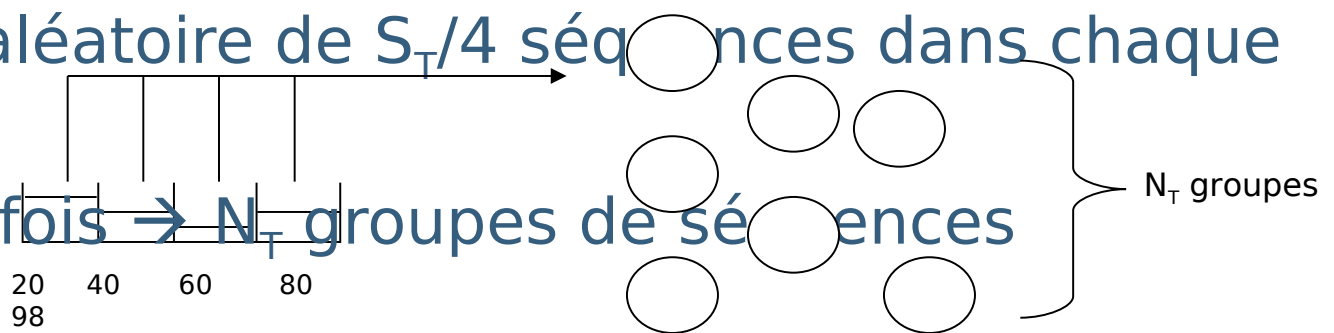
Échantillonnage aléatoire des séquences

13

- Motivation : ensemble E de S_N séquences obtenues par PSI-BLAST
 - Répartition non uniforme en terme d'identité
 - Familles de séquences sous ou sur représentées
 - Nombre de séquences grand
- Répartition des séquences de E dans 4 groupes d'identité par rapport à la séquence référence (20-40, 40-60, 60-80, 80-98)
- Piochage aléatoire de $S_T/4$ séquences dans chaque

$$C_{N_i}^{S_T} \geq 2 \times N_T$$

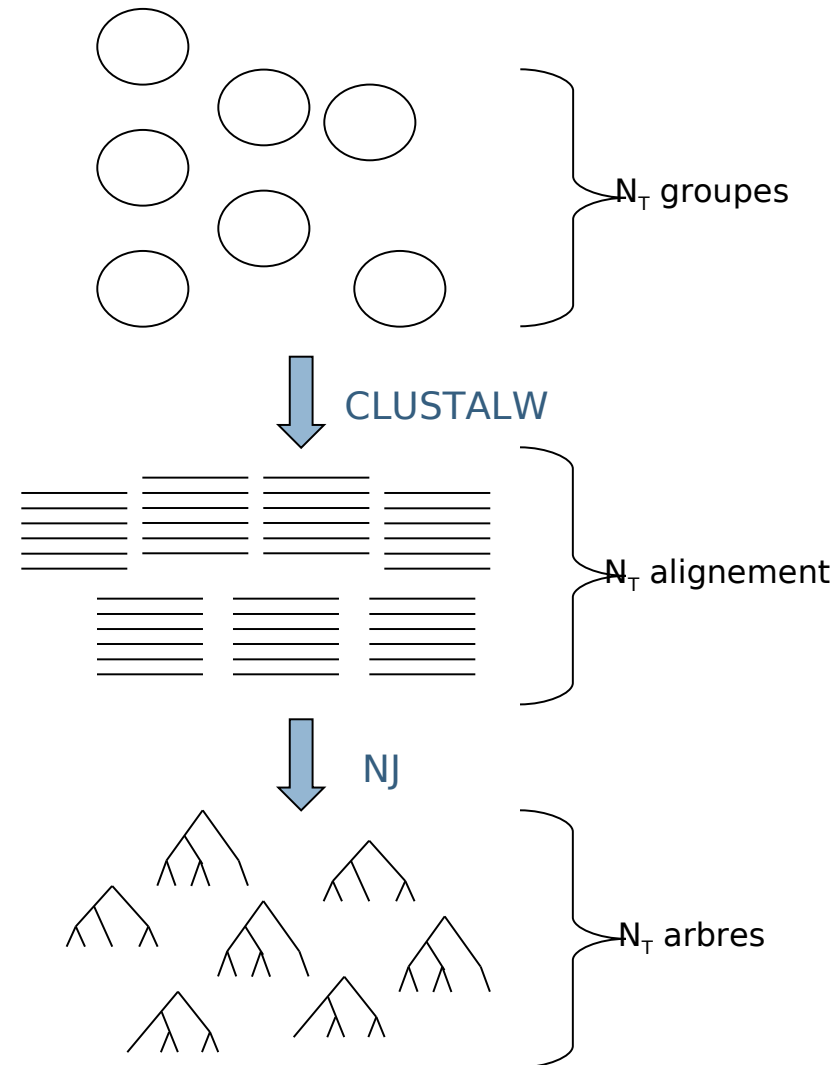
□ Réalisé N_T fois $\rightarrow N_T$ groupes de séquences



Alignement multiple et construction d'arbres phylogénétiques

14

- Alignement multiple de chaque groupe de séquences avec CLUSTALW
 - N_T alignement de S_T séquences
 - N_T matrices de distances
- Construction d'arbres par Neighbor Joining (NJ) à partir des matrices de distances
 - N_T arbres métriques



Évaluation de la conservation des résidus : calcul des séquences consensus et backtraces

15

- Séquences consensus des feuilles = séquences de l'alignement

Arbre des séquences consensus

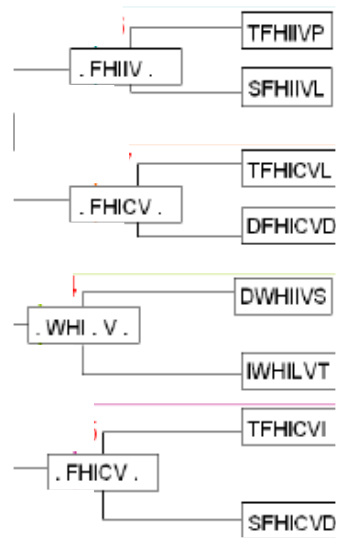


Évaluation de la conservation des résidus : calcul des séquences consensus et backtraces

16

- $\text{consensus}(n) = \text{consensus}(\text{fils_g}(n)) \cap \text{consensus}(\text{fils_d}(n))$

Arbre des séquences consensus



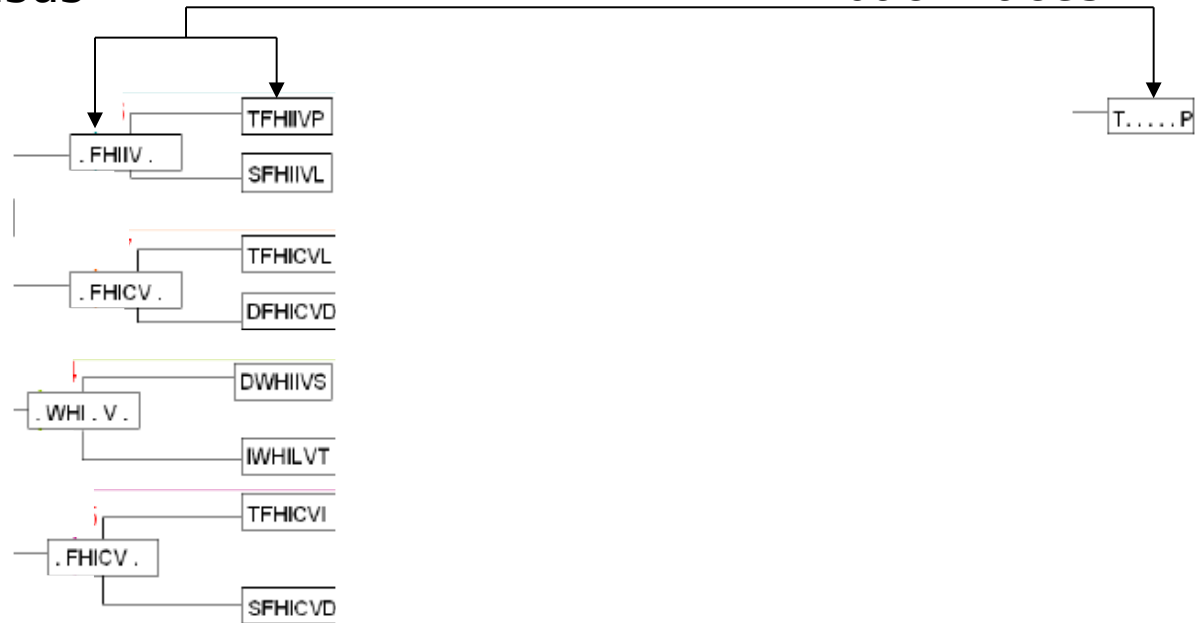
Évaluation de la conservation des résidus : calcul des séquences consensus et backtraces

17

- $\text{backtrace}(n) = \text{consensus}(n) - \text{consensus}(\text{père}(n))$

Arbre des séquences consensus

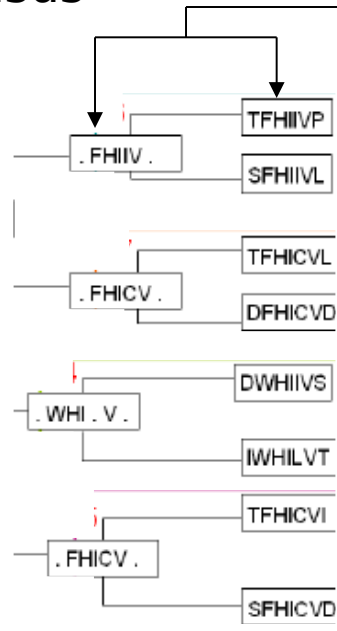
Arbre des séquences backtraces



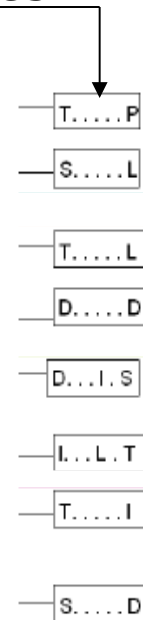
Évaluation de la conservation des résidus : calcul des séquences consensus et backtraces

18

Arbre des séquences consensus



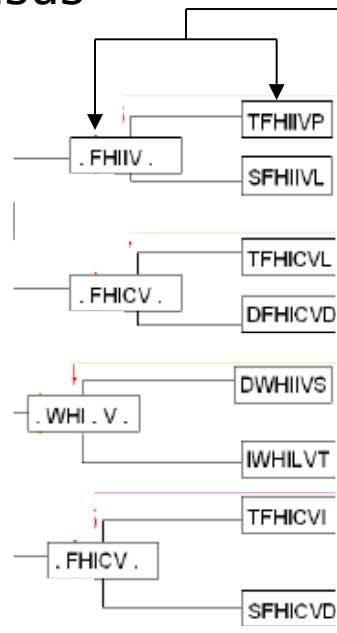
Arbre des séquences backtraces



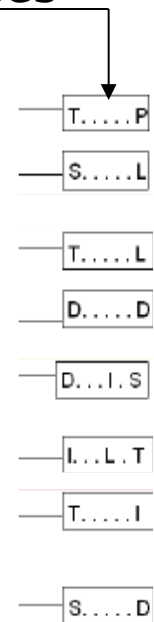
Évaluation de la conservation des résidus : calcul des séquences consensus et backtraces

19

Arbre des séquences consensus



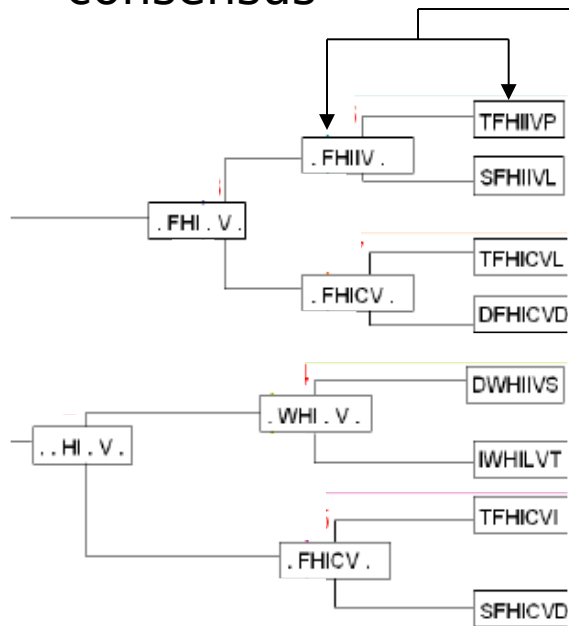
Arbre des séquences backtraces



Évaluation de la conservation des résidus : calcul des séquences consensus et backtraces

20

Arbre des séquences consensus



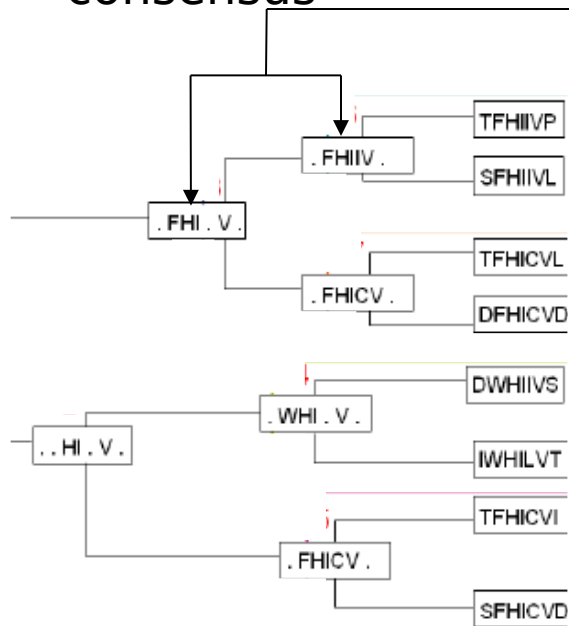
Arbre des séquences backtraces



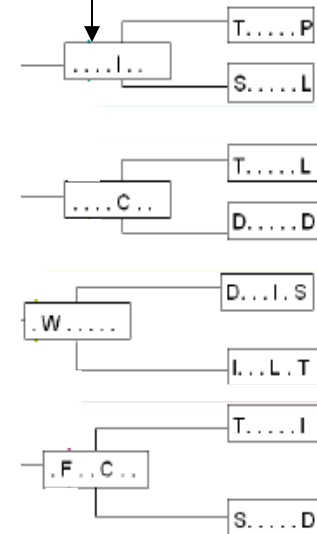
Évaluation de la conservation des résidus : calcul des séquences consensus et backtraces

21

Arbre des séquences consensus



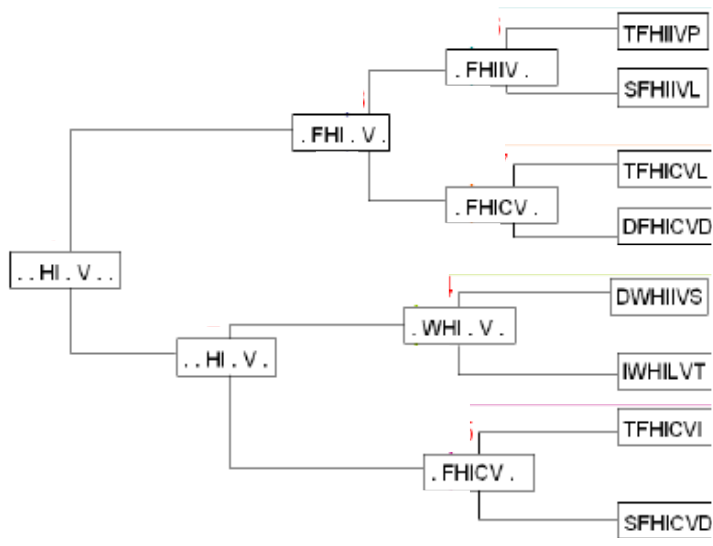
Arbre des séquences backtraces



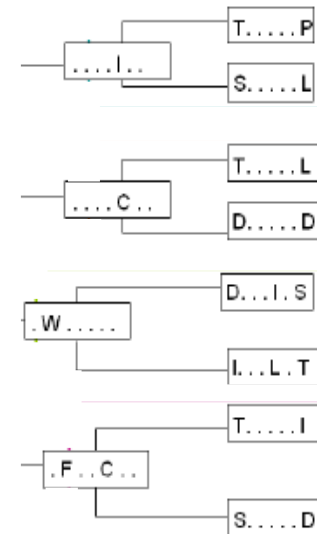
Évaluation de la conservation des résidus : calcul des séquences consensus et backtraces

22

Arbre des séquences consensus



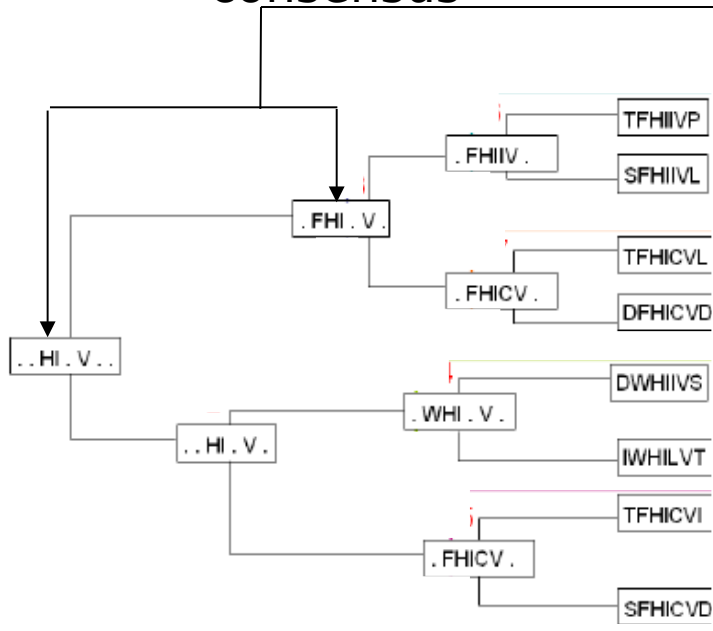
Arbre des séquences backtraces



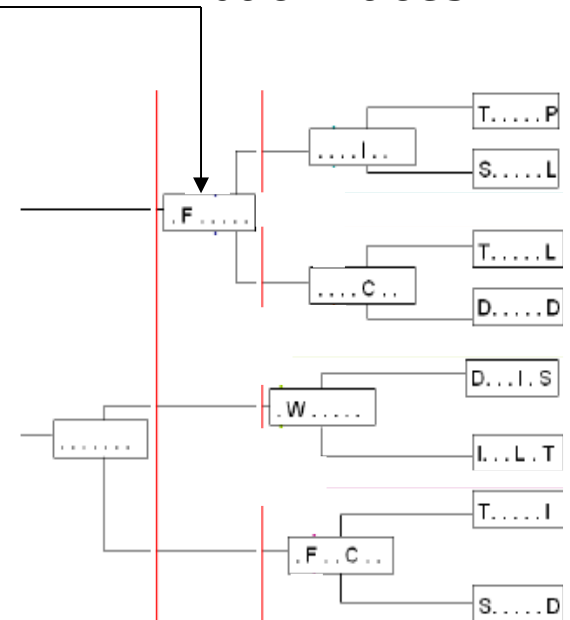
Évaluation de la conservation des résidus : calcul des séquences consensus et backtraces

23

Arbre des séquences consensus



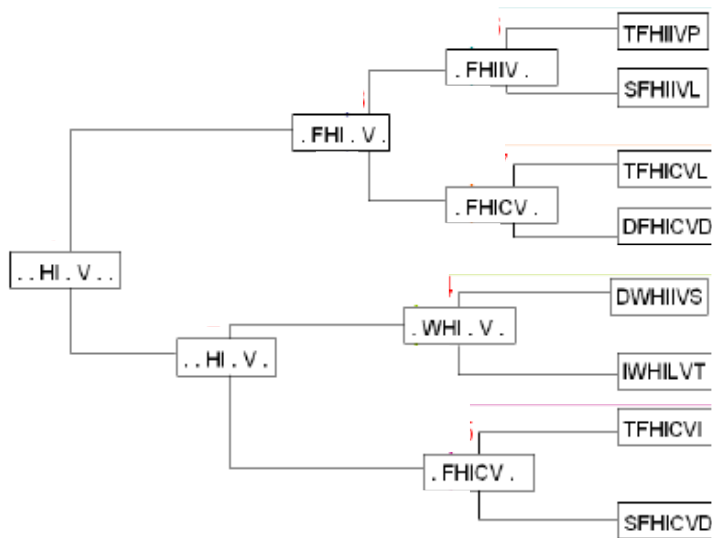
Arbre des séquences backtraces



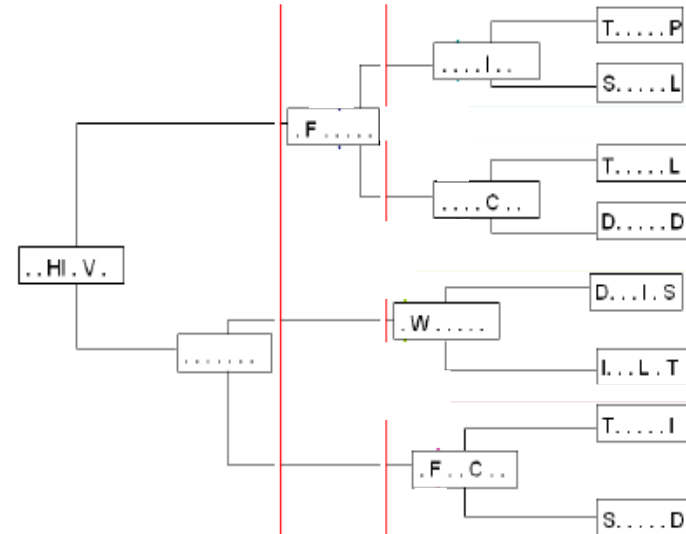
Évaluation de la conservation des résidus : calcul des séquences consensus et backtraces

24

Arbre des séquences consensus



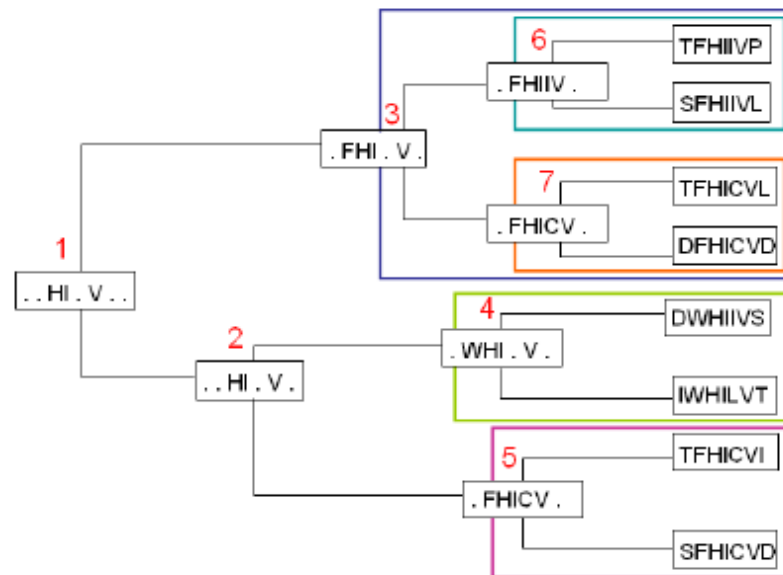
Arbre des séquences backtraces



Évaluation de la conservation des résidus : calcul des traces

25

- Notion de rang pour les nœud internes :
 - Rang(racine)=1
 - Rang(i)=n si pour tout nœud j tel que $d_{racine,j} < d_{racine,i}$ on a Rang(j) < n et au moins un nœud j tel que Rang(j) = 1

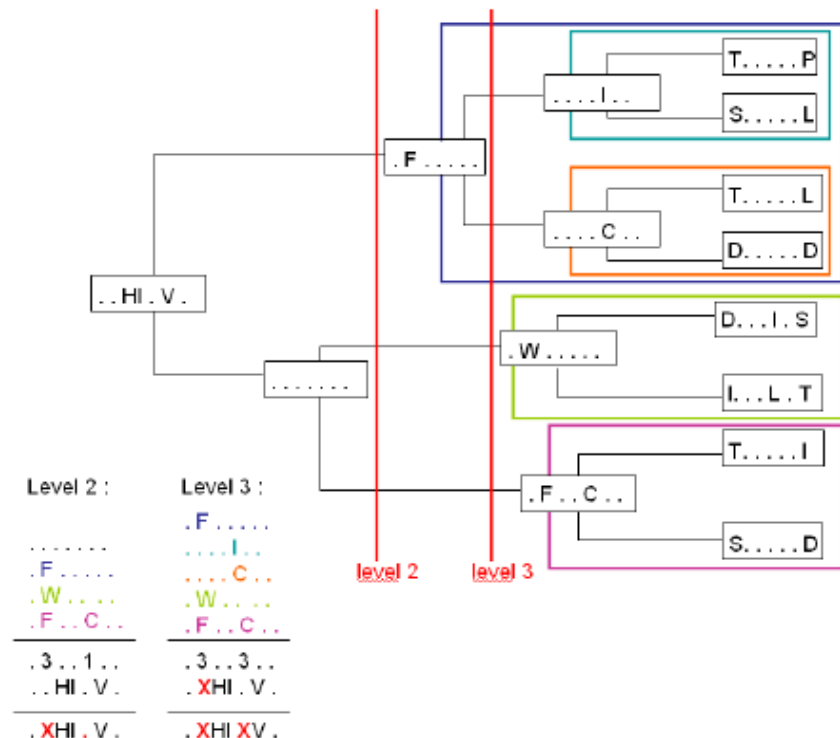


Évaluation de la conservation des résidus : calcul des traces

26

- Soit un noeud x de rang n , on coupe l'arbre aux positions correspondant à la distance $d(\text{racine}, x)$. Si un résidu est backtrace dans au moins 2 des sous arbres résultant alors il est trace de niveau n .

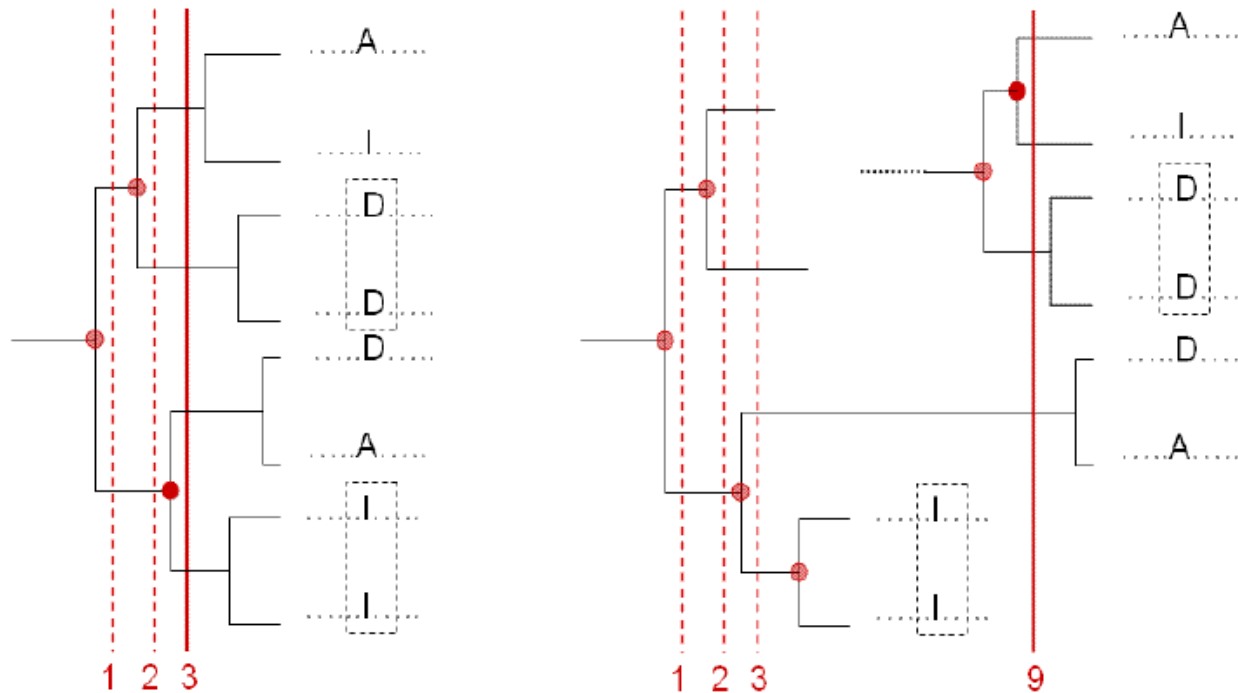
Motivation : Permet de récupérer les conservations locales de l'arbre



Évaluation de la conservation des résidus : calcul des traces

27

- Comparaison avec trace de ET (Evolutionary trace, O.Lichtarge)



Évaluation de la conservation des résidus : calcul des traces

28

□ Un score de conservation d_j est calculé sur l'ensemble des arbres pour chaque résidu de la séquence

□ Plus les résidus sont conservés, plus la t

$$d_j = \frac{1}{M} \sum_{t=1}^{M_j} \left(\frac{N_t - I_j^t}{N_t} \right)$$

I_j^t : niveau de trace du résidu r_j dans l'arbre t
 M : nombre d'arbres
 M_j : nombres d'arbres ou le résidu r_j est trace
 N_t : niveau maximal de l'arbre t

Clusterisation des résidus traces : motivations

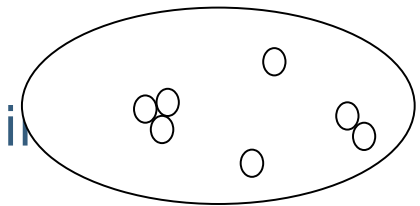
29

- Les résidus à l'interface entre deux protéines forment des patches sur la surface des protéines
 - Clusterisation des résidus de surface
- Les résidus aux interfaces des protéines sont plus conservés que les autres résidus de surface
 - Clusterisation des résidus montrant une trace significative
- Seulement 39% des résidus d'une interface montrent une conservation significative
 - Clusterisation des résidus selon la trace pour former une graine que l'on étend ensuite
- Les résidus les plus conservés sont presque toujours à l'interface
 - Clusterisation des résidus par trace décroissante

Clusterisation des résidus : algorithme

30

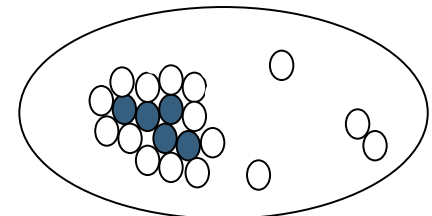
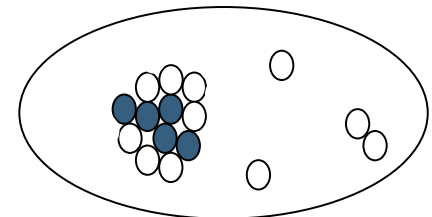
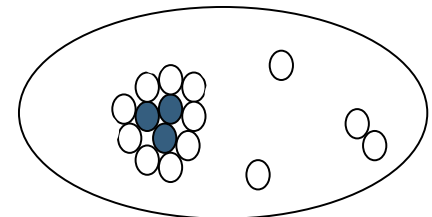
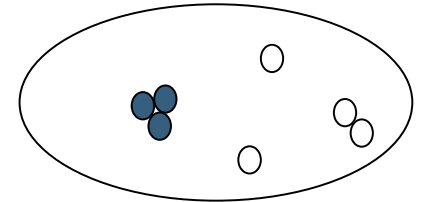
- Étape 1: Trier par trace décroissante les résidus de surface et de trace $>$ seuil_residu
- Étape 2 (création graine): Pour chaque résidu i dans l'ordre du tri
 - Elargissement d'un cluster si :
 - résidu assez proche du cluster (5A)
 - d_{cluster} après ajout du résidu $>$ seuil_graine
 - Création d'un nouveau cluster si:
 - le résidu ne clusterise pas avec un cluster
 - $d_i >$ seuil_graine



Clusterisation des résidus : algorithme

31

- Étape 3 : Sélection des graines de taille $>$ seuil_taille
- Étape 4 : Collecte des résidus voisins aux graines
 - Si pas de voisins FIN
- Étape 5 : Extension des graines :
 - ajout des résidus voisins dans l'ordre du tri
 - Respect des règles de l'étape 2 en remplaçant seuil_graine par seuil_cluster
 - Retour à l'étape 4



Clusterisation des résidus : seuils

32

- Les résidus clusterisent différemment et plus ou moins bien en fonction de la structure considérée
 - Seuil_taille calculé par génération aléatoire de clusters sur la structure considérée = variable en fonction de la structure de la protéine
- La distribution des traces peut varier (protéines très conservées ou inversement)
 - Seuil_residu, seuil_graine et seuil_clusters fixé avec des niveaux de confiance sur la distribution des valeurs de traces

JET : Résultats

33

